Enfoque bioeconómico para el diseño de estrategias de recuperación ante un contexto climático incierto: El caso de la pesquería de abulón azul en México.

Dr. Víctor G. Vargas López

Instituto Politécnico Nacional, Centro Interdisciplinario de Ciencias Marinas

Dr. Francisco J. Vergara Solana

Universidad Autónoma de Baja California Sur, Departamento Académico de Ciencias Marinas y Costeras

Dr. Luis C. Almendarez Hernández

Instituto Politécnico Nacional, Centro Interdisciplinario de Ciencias Marinas

Abstract

Overfishing is a global issue exacerbated by climate change. In Mexico, the green abalone fishery represents a deteriorated resource, prompting efforts to rebuild it. Certain fishery areas have been closed through a collaborative decision-making involving process fishing communities and authorities as part of the recovery plan. This study evaluated three exploitation levels under future climate scenarios to guide potential fishery reopening in those zones. A bio-economic model was developed, incorporating the effects of sea surface temperature on abalone population dynamics. Results indicate that fishing effort levels targeting the maximum sustainable yield (MSY), based on historical data, could lead to overexploitation under warming scenarios. Conversely, adopting a lower effort level that balances acceptable returns with conservation objectives may support recovery and serve as a resilient strategy in the face of climate change. Accordingly, recovery strategies should be precautionary, account for multiple sources of uncertainty, and remain adaptable to shifts in stock productivity driven by climate variability.

Keywords: Climate change, overfishing, stock rebuilding, small-scale fisheries.

Resumen

La sobrepesca es un problema global que se ve agravando por el cambio climático. En México, la pesquería de abulón azul es un ejemplo de una pesquería deteriorada. Por tal motivo se están invirtiendo esfuerzos para recuperarla. Parte del plan de recuperación incluyó el cierre de la pesquería en algunas zonas, decisión que fue tomada por las mismas comunidades pesqueras en conjunto con las autoridades. En esta investigación se evaluaron tres niveles de explotación (en caso de una reapertura de la pesquería)

bajo escenarios climáticos futuros. Para esto se creó un modelo bioeconómico que considera el efecto de la temperatura superficial del mar en la dinámica de la población de abulón. Los resultados sugieren que un nivel de esfuerzo pesquero que buscara el rendimiento máximo sostenible (RMS) estimado con los datos históricos de la pesquería podría llevar a la sobreexplotación en escenarios de calentamiento. En cambio, aplicar un esfuerzo menor pero que permita rentabilidades aceptables puede ser compatible con la recuperación y ser una estrategia resiliente al cambio climático. Por lo tanto, una estrategia de recuperación de pesquerías debería ser precautoria, y para que tenga más probabilidades de éxito, deberá reconocer que existen muchas fuentes de incertidumbre, siendo flexible al considerar que el clima genera cambios en la productividad de la población.

Palabras clave: Cambio climático, sobreexplotación, reconstrucción de pesquerías, pesquerías de pequeña escala.

Introducción

En México, al igual que en el resto del mundo, existen pesquerías que han sido aprovechadas comercialmente por encima del nivel de esfuerzo que produce el rendimiento máximo sostenible (RMS), reduciendo la productividad de nuestros mares, y en algunos casos provocando el cierre de la pesquerías (FAO, 2022). La sobrepesca es un problema global que pone en riesgo los medios de vida y la seguridad alimentaria de millones de personas. Para contextualizar la importancia de la pesca, se resalta que los productos pesqueros son los productos básicos más intensamente comercializados en el mundo; su valor es mayor que el café, el arroz, el azúcar y el maíz combinados.

El abulón de la región occidental de la Península de Baja California es ejemplo de una pesquería deteriorada. A pesar de esto, el abulón es un recurso de gran valor y demanda en el mercado internacional. Además del valor monetario, esta pesquería tiene gran importancia histórica y cultural en la península de Baja California, ya que es una pesquería con más de 100 años de antigüedad y que gracias a ella, se fundaron varios de los poblados en la región conocida como la Pacifico Norte.

A pesar de su importancia económica y social, durante las dos últimas décadas se ha producido una disminución de las capturas de abulón en México. Para ilustrar esto, las capturas han pasado de alrededor de 6,000 toneladas en la década de los 50's a 150 toneladas en el 2019. Esta caída drástica ha sido atribuida a la sobrepesca, a la pesca ilegal y a la variabilidad climática que ha provocado un aumento en la mortalidad y una disminución del éxito reproductivo.

Si bien la caída de la producción pesquera probablemente se deba a una combinación de estos factores, varias investigaciones apuntan que desde los 70's el clima en la región no ha sido favorable para el recurso, situación que pudiera empeorar si consideramos el potencial efecto del cambio climático. A pesar de que se reconoce el papel del clima en la pesquería, la toma de decisiones para su administración asume que las condiciones ambientales son estables.

Es de fundamental importancia para el manejo pesquero, y para cualquier escenario de recuperación de poblaciones, considerar explícitamente como los cambios ambientales condicionan las poblaciones de abulón. Más allá del caso de esta pesquería, comúnmente, el manejo pesquero se ha caracterizado

por presentar un enfoque biológico y monoespecífico, sin tomar en cuenta que, al ser un sistema socio-ecológico, está caracterizado por múltiples objetivos de manejo (muchas veces contrarios entre sí) condicionados a un abanico de factores ambientales, sociales y económicos.

A pesar de esto, hay que reconocer la dificultad que implica evaluar las pesquerías bajo el lente de la socio-ecología. En esta línea, desde hace algunos años, la gestión pesquera se encuentra inmersa en una transición en la que el objetivo ya no es solo gestionar el recurso, sino gestionar a los usuarios de este. En este sentido, el nivel de rentabilidad se ha reconocido en un aspecto esencial para la toma de decisiones de los usuarios de los recursos.

El enfoque bioeconómico en la pesca nos da un marco metodológico para analizar y proponer estrategias de manejo que consideren simultáneamente los factores biológicos, económicos, ambientales y sociales. Como su nombre lo indica, el concepto de bioeconomía surge del vínculo entre dos disciplinas científicas, la biología y la economía. La biología se enfoca en el estudio de las poblaciones sujetas a la explotación pesquera y todos los procesos asociados. Por su parte, la economía se encarga del estudio de cómo administrar y distribuir eficientemente los recursos.

En este sentido, en este capítulo se ejemplifica como puede emplearse un modelo bioeconómico para evaluar escenarios de recuperación para la pesquería de abulón, considerando el potencial impacto del cambio climático. Para esto, se analiza el desempeño de dos escenarios de explotación, el primero considerando el esfuerzo que produce el RMS basándose en la información histórica de

pesquería y el segundo denominado el esfuerzo mínimo aceptable, que es como su nombre lo indica, el nivel de explotación mínimo que las comunidades consideran aceptables desde la perspectiva económica.

Metodología

El área de estudio que se analizó incluye la pesquería para algunos de los bancos de pesca que recuperación de la se encuentran desde Bahía Asunción, abulón hasta que esta hasta Punta Holcomb, en la Laguna San en los que se pue Ignacio. Esta zona se conoce como La pesquería sostenible.

Bocana (Figura 1). Se obtuvieron datos de los muestreos biológico-pesqueros realizados en la zona por INAPESCA, complementado por datos técnicos y económicos proporcionados por la Sociedad Cooperativa de Producción Pesquera el Progreso (SCPPP). Los datos van de 1993 al 2017, que fue cuando en esa zona se decidió, entre las cooperativas y la autoridad, cerrar la pesquería para contribuir a la recuperación de las poblaciones de abulón hasta que estas alcancen niveles en los que se pueda soportar una pesquería sostenible.

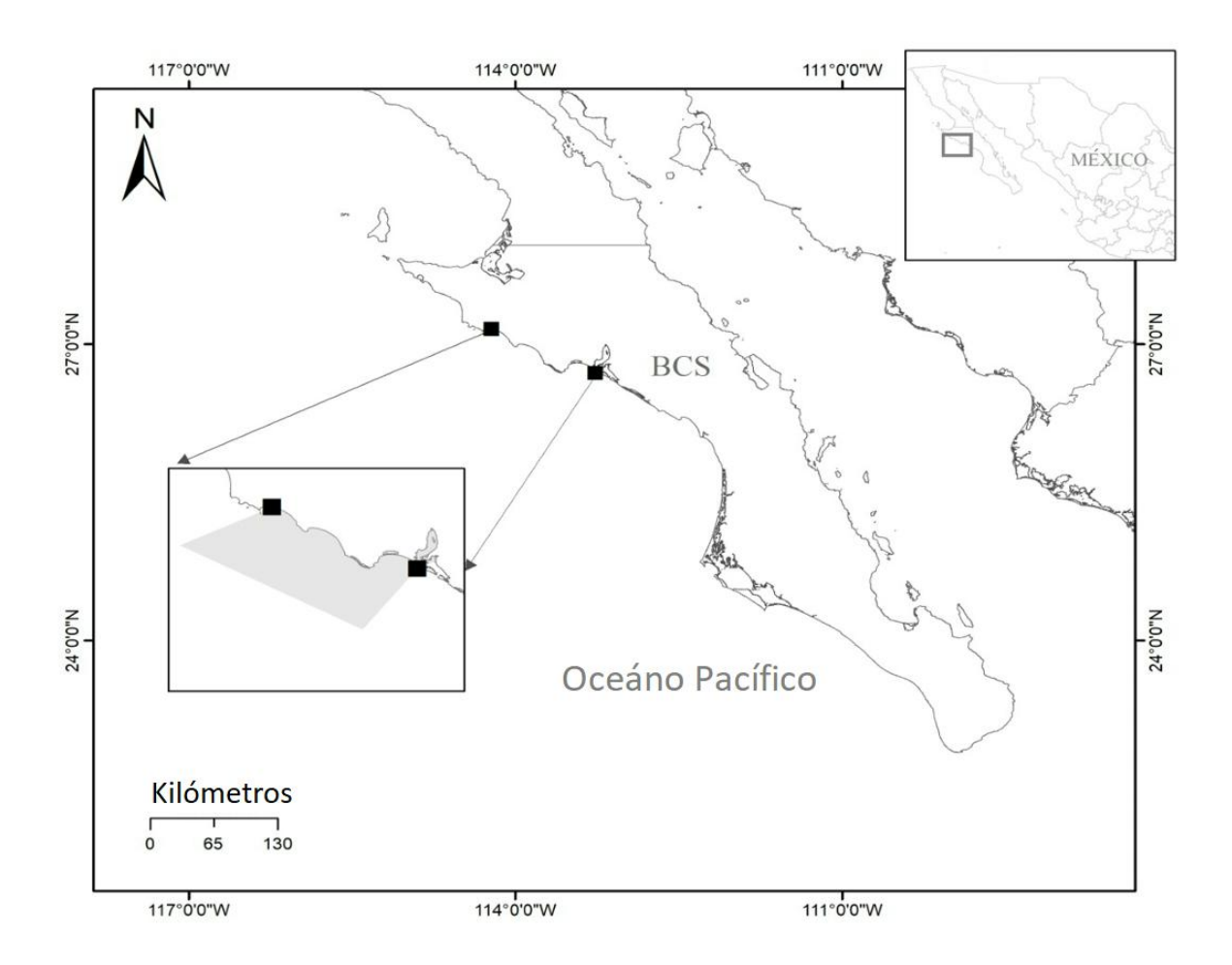


Figura 1: Ubicación geográfica y delimitación del área de estudio, La Bocana, en la costa occidental de la Península de Baja California, México.

El modelo bioeconómico parametrizado submodelos: el submodelo biológico, entender la dinámica de las poblaciones submodelo ambiental, que simula los de abulón, así como el desempeño cambios anuales en la temperatura económico de la flota. Este es un modelo del mar; el submodelo tecnológico, que explícitamente como la temperatura los abulones; y finalmente, el submodelo superficial del mar (TSM) afecta el económico, que ayuda a entender cómo crecimiento, la mortalidad a la edad los costos y los ingresos afectan la pesca y el reclutamiento. El modelo consta (Figura 2; Tablas I y II). partes conocidas como de cuatro

es una herramienta que nos ayuda a que refleja la dinámica poblacional; el estructurado por edades y considera describe cómo la flota pesquera extrae



Figura 2: Modelo bioeconómico teórico-conceptual.

Elsubmodelo ambiental información histórica sobre el clima y y los esfuerzos internacionales proyecciones de la TSM para el área de mitigación. Se emplearon el escenario estudio. La información histórica abarca RCP 4.5 de emisiones intermedias y desde 2000 hasta 2017 y las proyecciones el escenario RCP 8.5 pesimista, y se se utilizaron para simular escenarios proyectaron para el período de 2040 a climáticos. La información futura se basa en dos escenarios de concentración representativa de emisiones (RCP por sus siglas en inglés). Estos son escenarios utilizados para proyectar las concentraciones futuras de gases de efecto invernadero en la atmósfera y sus posibles impactos en el sistema climático. Los escenarios RCP se basan en diferentes supuestos sobre las emisiones

incluye futuras de gases de efecto invernadero 2050.

> Se evaluaron tres estrategias de manejo que pudieran aplicarse en caso de que se reaperturara la pesquería de abulón en La Bocana. Las estrategias son: el ingreso mínimo del recurso (IMR), el esfuerzo histórico (EH) y el ingreso máximo por embarcación (IME). El IMR es la estrategia diseñada

esfuerzo mínimo que genera un ingreso que cubre los costos operativos por embarcación y su costo de oportunidad laboral. Para el costo de oportunidad laboral se consideró el ingreso promedio obtenido al capturar otra especie de alto valor como la langosta roja. El EH se fijó en 25 embarcaciones, que, de acuerdo con estimaciones oficiales, es el esfuerzo que históricamente producía el RMS. El esfuerzo que produce IME se estimó a través de la optimización de la rentabilidad (maximizando la renta por embarcación), con la restricción de que el rendimiento máximo por panga para un año podría ser de 22 toneladas métricas (tm) (promedio histórico). Las zona que es de alrededor de 310 tm.

por la SCPPP y se determina por el simulaciones de estas estrategias de manejo comenzaron con la suposición de levantar la moratoria de la pesquería a partir de 2023 y continuar hasta 2040. La simulación representa 17 años ya que este período corresponde a la vida promedio del abulón azul.

> El punto de referencia límite (PRL), en términos de biomasa, se refiere al nivel de biomasa que llevó al cierre de la pesca en 2017, el cual es de menos de 220 tm. El punto de referencia objetivo (PRO) se determinó utilizando la biomasa en rendimiento máximo sostenible que fue estimado por las autoridades pesqueras considerando el clima histórico de la

Tabla I: Descripción de las funciones utilizadas para parametrizar los cuatro submodelos del modelo bioeconómico estructurados por edades (Vergara-Solana *et al.*, 2023).

Descripción	Ecuación	Definición		
Reclutamiento	$R_{\Theta t} = \frac{\sum_{t} SSB_{t} \cdot \frac{\alpha}{\Theta}}{\beta + \sum_{t} SSB_{t}}$	$\sum_t SSB_t$ = Biomasa de reproductores α = Reclutamiento máximo en el año Θ = Anomalía en la TSM β = Biomasa de reproductores en $\alpha/2$		
Mortalidad natural a la edad	$M_{\Theta i} = \varphi_1 + \frac{\varphi_2}{i} + (\delta \cdot \theta)$	$arphi_1$ = Primer parámetro de la mortalidad natural a la edad $arphi_2$ = Segundo parámetro de la mortalidad natural a la edad δ = Parámetro de ajuste Θ = Anomalía en la TSM i = Edad		
Sobrevivencia de la cohorte	$\frac{dN_i}{dt} = -(F_{i,t} + M_{\Theta i})N_{i,t}$	$N_{i,t}=$ Cantidad de individuos de la edad i en el tiempo t $F_{i,t}=$ Mortalidad por pesca a la edad i en el tiempo t $M_{\Theta i}=$ Tasa de mortalidad instantánea en el tiempo i con la anomalía en la TSM Θ		
Crecimiento	$\begin{split} L_i = L_{\infty} \left[1 - e^{-[K'^{(t-t_0)}]} \right]; \\ K' = \alpha + \beta \cdot (\theta) \end{split}$	L_{∞} = Talla máxima promedio t_0 = Edad teórica a la talla 0 $K^{'}$ Parámetro de curvatura determinado por las anomalías en la TSM $ heta$ $lpha, eta$ = Parámetros de ajuste		
Relación peso longitud	$W_{i,t} = a + (L_i)^b$	L_i = Longitud a la edad i a = Parámetro de la relación peso longitud b = Parámetro de la relación peso longitud		
Biomasa total	$B_t = \sum_{i=1}^{i=k} N_{i,t} W_{i,t}$	$N_{i,t}=$ Cantidad de organismos de la edad i en el tiempo t $W_{i,t}=$ Pesos de los organismos de la edad i en el tiempo t		
Mortalidad por pesca	$F_{i,t} = E_t q_i$	E_t = Esfuerzo pesquero total en el tiempo t q_i = Coeficiente de capturabilidad a la edad		
Capturabilidad	$q_i = -\ln\left[1 - \left(\frac{aSEL_iC}{Area}\right)\right]$	a = Área barrida por día en km^2 $Area$ = Área de distribución en km^2 c = Probabilidad de captura		
Selectividad	$Sel_i = \frac{1}{1 + e^{s_1 - s_2 * L_i}}$	$s_1, s_2 = $ de Sparre y Venema (1998)		
S1; S2	$S1 = L_{50\%} \ln \left(\frac{3}{L_{75\%} - L_{50\%}} \right) \;\;\; ; \ s_2 = \frac{s_1}{L_{50\%}}$	$L_{50\%}=$ Longitud donde el arte de pesca retiene el 50 % $L_{75\%}=$ Longitud donde el arte de pesca retiene el 75 %		
Capturas	$Y_{i,t} = B_t \left(\frac{F_{i,t}}{F_{i,t} + M_{\Theta i}} \right) * \left(1 - e^{-(F_{i,t} + M_{\Theta i})} \right)$	B_t = Biomasa total disponible en el tiempo $F_{i,t}$ = Mortalidad por pesca a la edad i en el tiempo t $M_{\Theta i}$ = Tasa instantánea de mortalidad a la edad i con la anomalía en la TSM Θ		
Cuasi renta anual	$\pi_t = \sum_s (p y_t - C_t E_t$	py_t = Ingresos totales calculados con las capturas y el precio de venta p C_t = Costo variable por embarcación E_t = Esfuerzo pesquero; cantidad de embarcaciones		
Valor Presente Neto	$VPN = \int_{y=0}^{Y} \pi_t e^{-\delta y}$	$Y =$ Horizonte de simulación $\delta_y =$ Tasa de descuento		

Tabla II: Parámetros de las funciones del modelo bioeconómico estructurado por edades para el abulón azul en La Bocana, B.C.S., México (Vergara-Solana *et al.*, 2023).

Parámetros	Símbolo	Valor	Unidad de medida
Reclutamiento inicial	R	525,000	1/año
Edad máxima	λ	17	años
Edad primera madurez	sm	5	años
Edad primera captura		5	años
Edad teórica a la talla 0	t_0	-0.55	-
Talla máxima promedio	$L\infty$	16.4	cm
Parámetro de ajuste de K con respecto a las anomalías de la TSM	α	0.1621	-
Parámetro de ajuste de K con respecto a las anomalías de la TSM	β	0.0815	-
Parámetro de la relación peso longitud	a	0	-
Parámetro de la relación peso longitud	b	3.1	-
Parámetro mortalidad a la edad	$arphi_1$	0.210030061	-
Parámetro mortalidad a la edad	$arphi_2$	0.560111111	-
Ajuste mortalidad con respecto a las anomalías de la TSM	δ	0.060114373	-
Parámetro del reclutamiento (Beverton-Holt)	α	1,605,000	-
Parámetro del reclutamiento (Beverton-Holt)	β	550	-
L50% retención arte de pesca	$L_{50\%_1}$	14	cm
L75% retención arte de pesca	$L_{75\%_1}$	15.5	cm
S1 Función de selectividad	S_{1i}	4.45	-
S2 Función de selectividad	S_{2i}	0.32	-
Área barrida	a_1	0.76	km²/barco/año
Área de distribución del recurso	área	32	km^2
Probabilidad de captura	c	0.9	-
Precio de venta	P	\$41,000.00	us\$/ton
Costo de una unidad de esfuerzo	C_1	\$190.00	us\$/barco/día
Cantidad de viajes diarios en la temporada	FT	30	Días/año
Tasa de descuento	d	5.34%	1/año

Resultados

Los datos históricos de la temperatura temperatura promedio será 1.3°C más superficial del mar en la zona de La alta que la tendencia histórica (21.58°C Bocana muestran que desde el año frente a 20.26°C) (Figura 3 y la Tabla 2000 hasta el 2017 la tendencia ha III). Es esencial tomar en cuenta que a sido al alza, con varios periodos de medida que el escenario proyectado se fluctuaciones, destacando una variación vuelve más cálido, los posibles valores positiva realmente importante entre de temperatura podrían presentar una 2006 y 2008 (Figura 3). El promedio variabilidad más pronunciada que de temperatura histórico para la zona con respecto a la tendencia histórica son 20.26°C, pero de acuerdo con las (pasando de una desviación estándar de proyecciones de cambio climático, si 1.13 a 1.67) (Figura 3 y Tabla III).

estas se cumplen, en el escenario pesimista, para el año 2040 o 2050 la

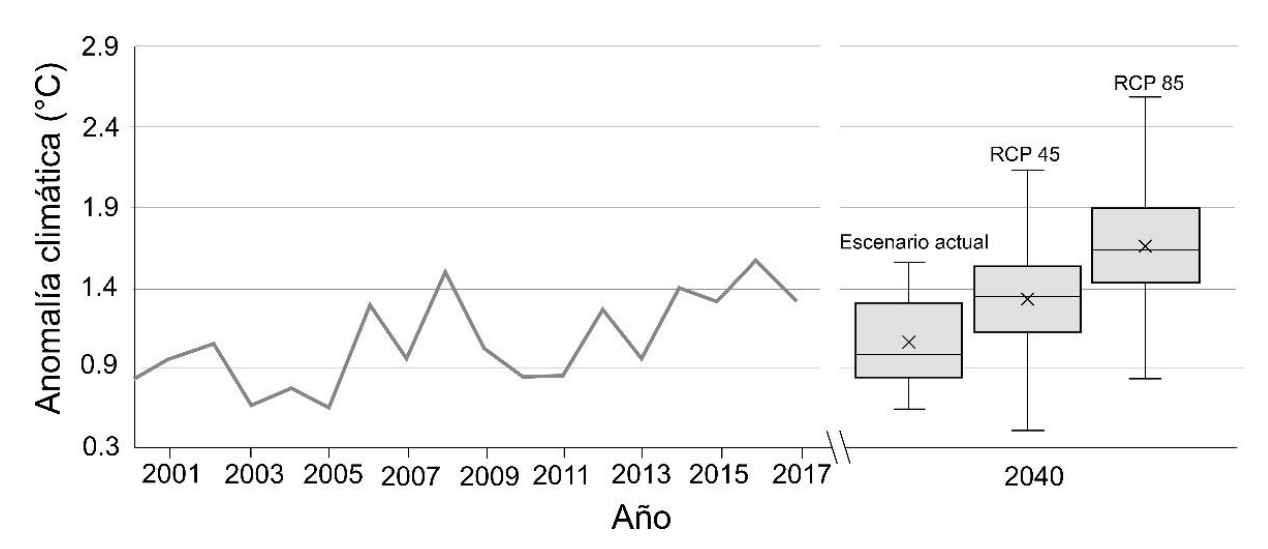


Figura 3: Anomalías de la temperatura superficial del mar históricas (2000-2017) para la zona de La Bocana y proyección para el período de 2040-2050 siguiendo tres escenarios climáticos diferentes.

Tabla III: Promedio de anomalías y valores absolutos de la temperatura superficial del mar (TSM) (en °C) para los tres escenarios climáticos en el área de estudio (escenario actual; RCP 4.5 y RCP 8.5)

Escenarios climáticos	Anomalía promedio (°C)	TSM (°C)	Desviación estándar (σ)
Escenario actual	1.08	20.26	1.13
RCP4.5	1.33	21.29	1.33
RCP8.5	1.67	21.58	1.67

En la figura 4 se puede apreciar series son estadísticamente iguales. Los como el modelo puede el comportamiento histórico de la bien a los datos observados (con un pesquería. En la figura 4 se muestran coeficiente de correlación de 0.92 y un las capturas históricas observadas coeficiente de determinación de 0.85). del año 1993 al 2017 y las capturas. La gran caída en los desembarques, de simuladas con el modelo para el mismo alrededor de 90 tm a alrededor de 20 periodo, considerando la temperatura tm en seis años, se observa en ambos de la mar histórica y la cantidad conjuntos de datos. Después del 2005, los de pangas que salían a pescar (el desembarques tendieron a mantenerse esfuerzo pesquero). Posteriormente, en alrededor de 20 toneladas métricas se compararon estadísticamente para hasta el cierre de la pesquería en la zona validar el modelo, resultando que las dos en el año 2017.

predecir datos simulados se ajustaron bastante

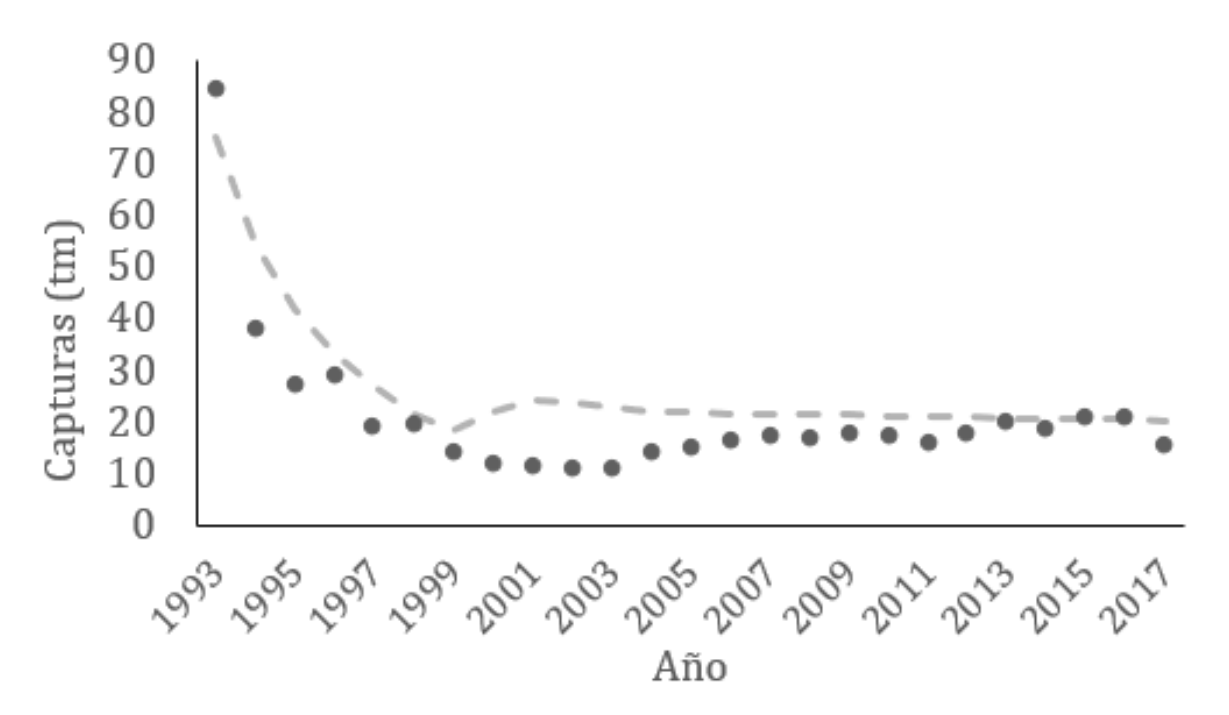


Figura 4: Desembarques históricos observados (línea discontinua) y desembarques históricos estimados con el modelo (línea de puntos) considerando el esfuerzo histórico (25 pangas) y el escenario climático actual basado con la información histórica promedio.

Una manera de ver como el cambio población; puntualmente el crecimiento, climático pudiese afectar la capacidad la mortalidad y el reclutamiento de la población para soportar una (eficiencia reproductiva). Por un lado, pesquería sostenible es viendo como un conforme aumenta la temperatura los aumento de la temperatura afecta los organismos tienden a llegar más rápido a procesos que regulan la dinámica de la su talla máxima, es decir, un incremento

en la temperatura mejora el desempeño la temperatura superficial del mar. El la mortalidad aumenta y la eficiencia (figura 5). reproductiva decrece conforme aumenta

del crecimiento, lo que es favorable reclutamiento mejora exponencialmente para una pesquería. Pero en contraste conforme se reduce la temperatura

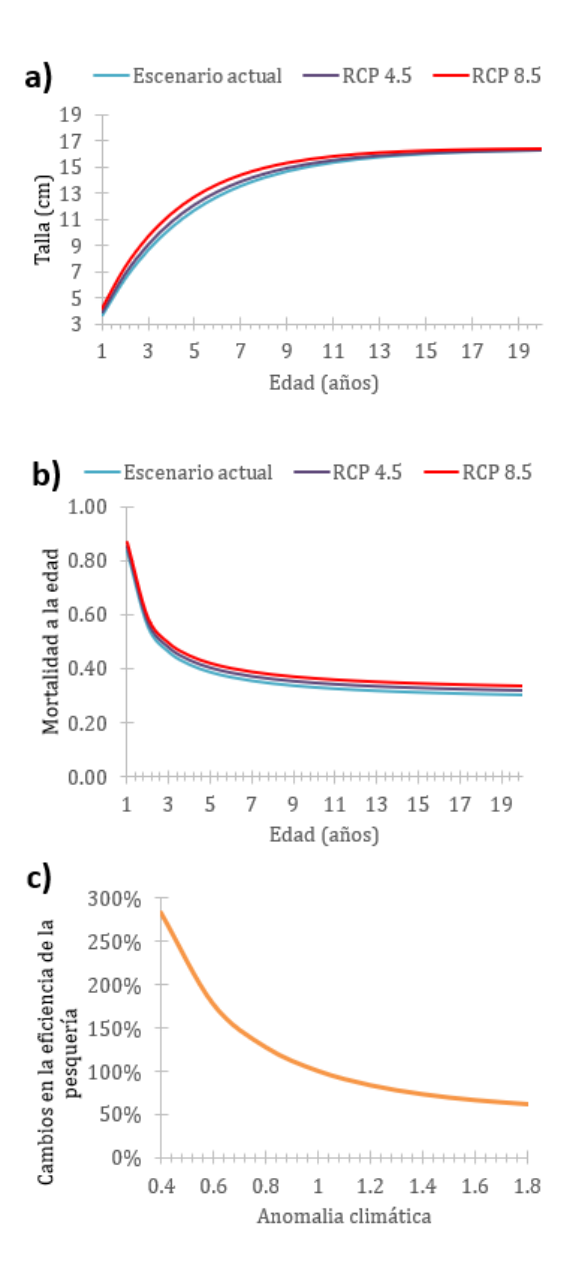


Figura 5: Efecto de la temperatura superficial del mar en el crecimiento, mortalidad y en el reclutamiento. Se muestran la talla a la edad proyectada en tres escenarios climáticos (a) y la tasa de mortalidad instantánea a la edad en los mismos escenarios climáticos (b). El efecto del cambio climático sobre el reclutamiento se muestra evaluando como cambia la eficiencia de la pesquería por los cambios en el reclutamiento causados por el clima (anomalías climáticas) (c).

utilizando diferentes estrategias de la rentabilidad de la pesquería también manejo que consisten en diferentes niveles de esfuerzo, es decir, cantidad de embarcaciones. El esfuerzo histórico que medida que disminuye el esfuerzo (Tabla es el que produce el RMS en condiciones climáticas históricas, fue de 25 pangas, el IME con 16 embarcaciones y el IMR con 4 embarcaciones. Estos esfuerzos se evaluaron ante los diferentes escenarios climáticos en términos de capturas, rentabilidad (Valor presente neto: VPN) de la pesquería, de la embarcación y de la biomasa (Tabla IV). Con los resultados de las simulaciones

apreciar que cuando

Realizamos simulaciones de la pesquería aumenta el esfuerzo, los desembarques y aumentan. Sin embargo, la rentabilidad por barco y la biomasa aumentan a IV).

> Bajo escenarios de cambio climático, entre más alta sea la temperatura, el rendimiento de la pesquería disminuye en todos los indicadores: captura, biomasa y rentabilidad, tanto por barco como a nivel de toda la pesquería. En el escenario RCP 8.5, el rendimiento y la rentabilidad disminuyen alrededor del 50% en comparación con el estado actual se (Tabla IV).

Tabla IV: Valor de los indicadores de desempeño de la pesquería obtenidos con las tres estrategias de manejo evaluadas ante tres diferentes escenarios climáticos.

	EH	Ī	
	Escenario actual	RCP 4.5	RCP 8.5
No. de embarcaciones	25	25	25
Capturas (2023–2040)	403	327	204
Rentabilidad	\$2,407,024	\$1,902,755	\$1,096,769
Rentabilidad-embarcación	\$96,281	\$76,110	\$43,871
Biomasa (2040)	357	332	250
	IM	R	
	Escenario actual	RCP 4.5	RCP 8.5
No. de embarcaciones	16	16	16
Capturas (2023–2040)	315	250	158
Rentabilidad	\$1,896,090	\$1,500,909	\$875,222
Rentabilidad-embarcación	\$118,506	\$93,807	\$54,701
Biomasa (2040)	402	369	275
	IM	E	
	$Escenario\ actual$	RCP 4.5	RCP 8.5
No. de embarcaciones	4	4	4
Capturas (2023–2040)	115	92	57
Rentabilidad	\$691,391	\$547,297	\$322,191
Rentabilidad-embarcación	\$172,848	\$136,824	\$80,548
Biomasa (2040)	495	445	328

causó el cierre de la pesquería en

Si se mantuviera la temperatura en 2017. De igual manera con las otras el estado actual, el nivel de esfuerzo estrategias de manejo la biomasa se histórico genera valores consistentes reduce conforme aumenta la TSM, pero, con el rendimiento máximo sostenible aun así, la estrategia de gestión más (PRO). Sin embargo, con el aumento conservadora (IMR) podría mantener de la temperatura, la biomasa tiende eficazmente la pesquería a un nivel a acercarse rápidamente al PRL, que compatible con el RMS incluso en el corresponde al nivel de biomasa que escenario climático pesimista (Figura 6).

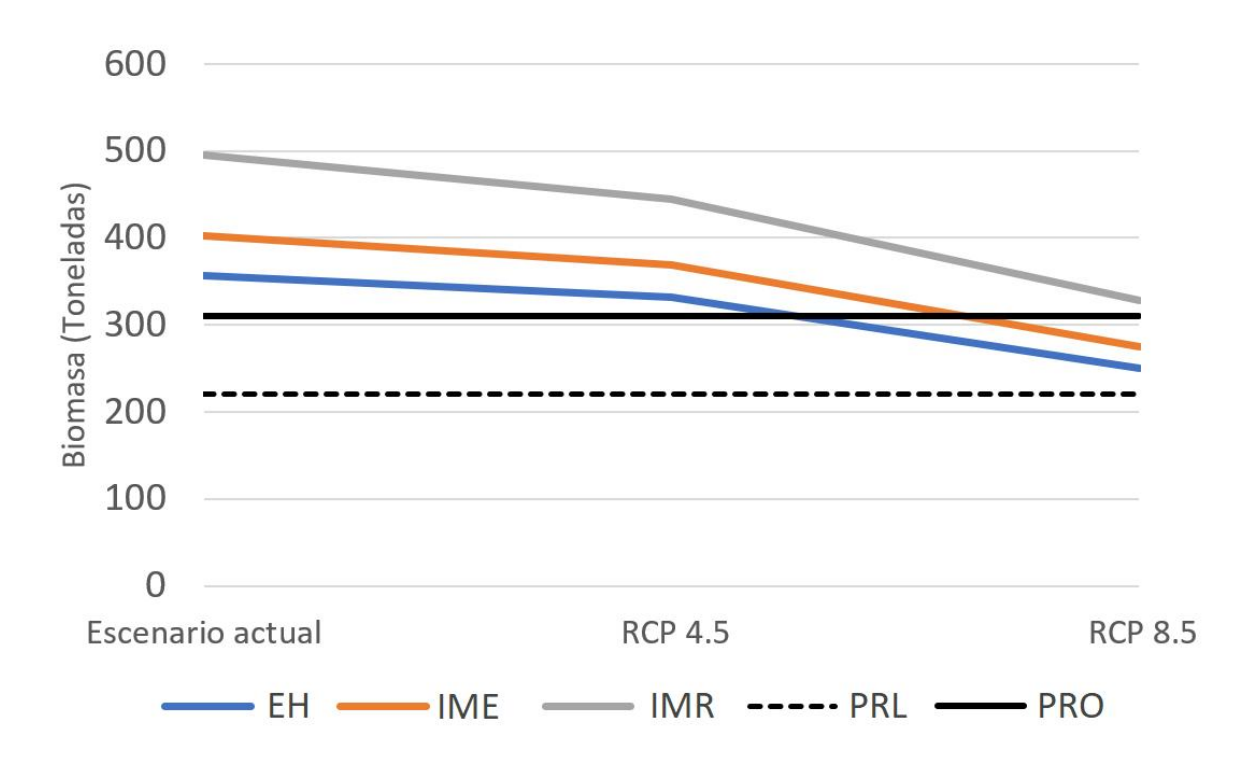


Figura 6: Biomasa proyectada al final de la simulación (2040) para cada una de las tres estrategias de manejo en los tres escenarios climáticos. La biomasa se muestra con respecto a los puntos de referencia objetivo (línea negra) y el punto de referencia limite (línea punteada).

Discusión

alternativas y recomendaciones de políticas pesqueras (e.g., determinar cuotas de captura anuales, capturas por localidad y/o ubicación), todo eso

para recomendar, satisfacer En muchas pesquerías, los modelos cumplimiento a objetivos específicos de bioeconómicos se han utilizado para manejo que consideren explícitamente resolver problemas de manejo de los incentivos de los pescadores (e.g., recursos, así como para desarrollar el ingreso, trabajo) (Anderson y Seijo, 2010).

> Con base en esta información, el análisis bioeconómico pesquero

interdependientes, se pero en función del clima). Como segundo objetivo, busca sugerir y analizar los procedimientos de manejo para regular 2010).

Para ello, es fundamental conocer y/o determinar los parámetros poblacionales, en su variabilidad para poder construir estudio explotación o recuperación.

probablemente explicado por

tiene como primer objetivo generar crecimiento del abulón se beneficia del recomendaciones de cómo una pesquería aumento de temperatura, pero que la podría operar dados estos factores supervivencia y el éxito reproductivo ven afectados negativamente. con cambios en la flota y el tamaño. Esto demuestra que los cambios de de la población (que puede variar temperatura pueden generar efectos contrarios en los diferentes aspectos que regulan las poblaciones. En este caso en particular, si consideramos estos a los participantes de tal manera que efectos del clima en su conjunto, el se obtengan los objetivos deseados saldo es negativo para la pesquería; es (e.g., sociales, económicos o productivos) decir un aumento en la temperatura del (Salas et al., 2007; Anderson y Seijo, mar afecta negativamente el desempeño económico de la pesquería (Vargas-López et al., 2021; 2023; Vergara-Solana et al., 2023).

sino también las variables que influyen Las simulaciones realizadas en este nos enseñan que, un modelo poblacional que permita implementa un esfuerzo de pesca en diseñar alternativas de gestión con un una pesquería compatible con el RMS menor grado de incertidumbre. En este estimado con valores históricos, puede sentido, estas alternativas mejorarán llevar a la sobreexplotación en escenarios en gran medida a las medidas de de calentamiento. Esta situación ha control y los futuros esfuerzos de gestión, sido evidenciada por otros autores, permitiendo conocer las fuentes de quienes resaltan que las probabilidades variación que no están determinadas por de que se recupere una pesquería se la pesca como lo es el clima; además, este reducen drásticamente si los planes de enfoque permite a los gestores prever las recuperación se realizan con el supuesto condiciones de las poblaciones sujetas a de estabilidad climática (Britten et al., 2017).

La pesquería del abulón mexicano El riesgo señalado aquí enfatiza la es reconocida como una pesquería necesidad de que los puntos de referencia volátil en términos de desembarques, tengan en cuenta el impacto de los la cambios inducidos por el clima en sensibilidad de la población al cambio la productividad (Vergara-Solana et de la temperatura superficial del mar. al., 2023). Por lo tanto, basándonos Estudios previos ya han sugerido que el en los hallazgos de las simulaciones,

de gestión del abulón se aborden sentido los planes de recuperación tienen con un alto nivel de precaución. La que ser precautorios y monitoreados de estrategia de gestión basada con el cerca y de forma continua. Finalmente, esfuerzo mínimo aceptable por las para evitar falsas expectativas (ya cooperativas (IMR) puede servir como un enfoque precautorio, permitiendo a recomienda que tanto la incertidumbre los pescadores operar con un esfuerzo mínimo generando utilidades. Esta estrategia puede aliviar algunas de las cargas financieras de la comunidad de un cierre prolongado de la actividad, permitiendo que continúen los esfuerzos de recuperación (Vergara-Solana et al., 2023).

Al diseñar una estrategia para recuperar una pesquería, debe reconocerse que incluso cuando las poblaciones recuperan, es posible que no alcancen el nivel de biomasa previo al colapso (Lotze et al., 2011). Es probable que este sea el caso del abulón mexicano, debido a las condiciones climáticas desfavorables en la región (Ponce-Díaz et al., 2003). Sin embargo, a pesar de que probablemente no se alcancen los niveles históricos, la pesquería aún es rentable incluso con una cuota menor.

Conclusiones

Es importante reconocer que para reconstruir una pesquería se requiere de un esfuerzo que puede llevar muchos años (probablemente décadas) y que los factores ambientales pueden afectar dichos planes de recuperación. Por eso es aconsejable no diseñar planes de recuperación que consideren únicamente

recomienda que las decisiones escenarios climáticos favorables. En este que puede ser contraproducente) se en torno a estos planes de recuperación, así como los avances y resultados, se deben de comunicar de manera los constante y transparente principales interesados: las comunidades pesqueras.

Agradecimientos

Los autores agradecen a la Sociedad Cooperativa de Producción Pesquera Progreso y al INAPESCA por compartir los registros y datos aquí analizados. El financiamiento fue proporcionado por el Proyecto CONACyT No. 320501 y el SNI (Sistema Nacional de Investigadores). LCAH agradece al Instituto Politécnico Nacional por el apoyo del programa EDI y el proyecto SIP-20230859.

Referencias

- [1] Anderson, L.G. J.C. Seijo, **Bioeconomics Fisheries** ofManagement. John Wiley & Sons, 2010
- [2] Britten, G.L., Dowd, M., Kanary, L. y Worm, B. Extended fisheries recovery timelines in a changing environment. Nat Commun 8, 15325, 2017 https: //doi.org/10.1038/ncomms15325
- [3] FAO. The State of World Fisheries and Aquaculture 2022. Towards Blue

- Transformation. Rome, FAO, 2022 https://doi.org/10.4060/cc0461en
- [4] Lotze, H.K., Coll, M., Magera, A.M., Ward-Paige, C. y Airoldi, L. Recovery of marine animal populations and ecosystems. *Trends in Ecology* & Evolution 26, 595-605, 2011 https://doi.org/10.1016/j.tree. 2011.07.008
- [5] Ponce-Díaz, G., Lluch-Cota, S.E., Bautista-Romero, J.J. y Lluch-Belda, D. Caracterización multiescala de la temperatura del mar en una zona de bancos de abulón (Haliotis spp.) en Bahía Asunción, Baja California Sur, México. Ciencias marinas 29, 291–303, 2003
- [6] Salas, S., Chuenpagdee, R., Seijo, J. C., y Charles, A. Challenges in the assessment and management of small-scale fisheries in Latin America and the *Caribbean*. *Fisheries Research*, 87(1), 5–16, 2007. https://doi.org/10.1016/j. fishres.2007.06.015
- [7] Vargas-López, V.G., Vergara-Solana,F. y Arreguín-Sánchez, F. Effect

- of environmental variability on the individual growth of yellow abalone (Haliotis corrugata) and blue abalone (Haliotis fulgens) in the Mexican Pacific. *Regional Studies* in Marine Science 46, 101877, 2021, https://doi.org/10.1016/j.rsma. 2021.101877
- [8] Vargas-López, V.G., Vergara-Solana, F.J. y Almendarez-Hernández, L.C. Environmental related age-specific natural mortality of a high-value species: The case of Mexican green abalone fishery. Regional Studies in Marine Science 62, 102938, 2023 https://doi.org/10.1016/j.rsma. 2023.102938
- [9] Vergara-Solana, F. J., Vargas-López, V. G., Bolaños-Durán, E., Paz-García, D. A., y Almendarez-Hernández, L. C. Bioeconomic analysis of stock rebuilding strategies for the green abalone fishery in Mexico under climate uncertainty. Ocean & Coastal Management, 243, 106759, 2023. https://doi.org/10.1016/j. ocecoaman.2023.106759